

# اصلاح توام نقص ابیراهی لنز دوربین و خطای خروج از مرکز تصویر با بهره‌گیری از مدل اصلاح شده زرنیک

\*کامبیز رهبر      \*\*کریم فائز      \*\*\*ابراهیم عطاران کاخکی

\*دکتری کامپیوتر، دانشگاه آزاد اسلامی، واحد تهران مرکزی، باشگاه پژوهشگران جوان و نخبگان، تهران، ایران

\*\*استاد، دانشکده مهندسی برق، دانشگاه صنعتی امیرکبیر، تهران

\*\*\*دانشیار، گروه فیزیک، دانشگاه آزاد اسلامی واحد مشهد، مشهد

تاریخ دریافت: ۹۲/۴/۲۱      تاریخ پذیرش: ۹۴/۱۱/۲۰

## چکیده

کاهش کیفیت تصویر در یک سامانه اپتیکی تابع پارامترهای متفاوتی می‌تواند باشد. برخی از این پارامترها عبارتند از: ابیراهی لنز، خطای رقمی‌سازی و خطای مونتاژ سامانه. در حوزه خطای مونتاژ معمولاً دو نوع خطای کلی در نظر گرفته می‌شود: (۱) عدم متعامد بودن پرده تصویر و محور اپتیکی که اغلب در قالب خطای prism از آن نام برده می‌شود. (۲) خطای عدم عبور محور اپتیکی لنز از مرکز تصویر که تحت عنوان خطای خروج از مرکز تصویر (de-centering) از آن یاد می‌شود. از این میان مقاله حاضر قصد دارد تا به مطالعه ابیراهی لنز پرداخته و نقص ابیراهی آن را تواماً با خطای خروج از مرکز اصلاح و جبران کند. برای این منظور ابیراهی‌های زاید در قالب مومنت‌های اصلاح شده زرنیک مبتنی بر چندجمله‌ای چبیشف نوع دوم به صورت توابع مجزا روی فضای کارترین بازنویسی می‌گردند. سپس مومنت‌های بازنویسی شده به گونه‌ای اصلاح می‌گردند که با در نظر گرفتن خطای خروج از مرکز، تابع ابیراهی فاز را نیز مدل کنند. نهایتاً ضرایب مدل معرفی شده جهت تخمین در دو کلاس متقارن و نامتقارن دسته‌بندی می‌شوند. سپس این ضرایب با بهره‌گیری از آنالیز چندطیفی تخمین زده می‌شوند. جهت تخمین ضرایب جملات متقارن از آنالیز tri-coherence و برای ضرایب جملات نامتقارن از آنالیز bi-coherence استفاده شده است. نتایج آزمایشگاهی دقت و بازدهی راه‌کار پیشنهادی را تایید می‌کنند.

واژه‌های کلیدی: تابع ابیراهی فاز، خطای خروج از مرکز تصویر، چندجمله‌ای زرنیک، چندجمله‌ای چبیشف، آنالیز چندطیفی

## ۱. مقدمه

شناخته می‌شود. از طرفی دیگر اگر پرتوهای نور را به عنوان سیگنال و لنز را به عنوان یک سیستم بپذیریم، کاملاً مشهود است که به واسطه تفاوت قطر در نواحی مختلف لنز و یا عدم یکنواختی چگالی مواد سازنده لنز، پرتوهای ورودی در این سیستم دچار تاخیرهای متفاوتی می‌شوند. بنابراین ابیراهی برای پرتوهایی که با هم وارد لنز می‌شوند علاوه بر انحراف در نقاط مختلف لنز، تحت تاثیر تاخیر هم قرار می

در شرایط ایده آل در اپتیک هندسی تمامی پرتوهایی که از یک نقطه از شیء هدف ساطع می‌شوند پرده تصویر را در یک نقطه قطع می‌کنند. در عمل این مهم اغلب حاصل نمی‌شود. انحراف از مسیر ایده آل برای پرتوهای ساطع شده و لمس نقطه دیگری روی پرده تصویر تحت عنوان ابیراهی<sup>۱</sup>

سنجش ابیراهی نیازمند وجود یک آینه فارغ از ابیراهی در پشت سامانه اپتیکی هستند. دسته‌ای دوم از راهکارها پروسه تشخیص و تعیین ابیراهی را صرفاً بر اساس تصویر نقش بسته بر پرده تصویر صورت می‌دهند. این راهکارها نیازی به پرتوهای ویژه هندسی ندارند. هر چند این روش‌ها اغلب نتایج ضعیف تری را ارائه می‌دهند، اما به واسطه عدم نیاز به پرتوهای ویژه هندسی، امکان سنجش و تعیین ابیراهی را در شرایطی که امکان بهره‌گیری از پرتوهای یاد شده وجود نداشته باشد، فراهم می‌آورند.

روش‌های دسته دوم، می‌توانند در ۲ کلاس اصلی طبقه بندی شوند: (۱) روش‌های مبتنی بر مدل<sup>۸</sup> و (۲) روش‌های فارغ از مدل<sup>۹</sup>. روش‌های فارغ از مدل تاثیر ابیراهی را مستقیماً در مدل سامانه بینایی وارد می‌کنند. بنابراین مدل سامانه بینایی به گونه‌ای اصلاح می‌گردد که تاثیر ابیراهی روی تصویر در نتایج آن تاثیری نداشته باشد. در مقابل، روش‌های مبتنی بر مدل به ارائه مدلی مستقل برای تابع ابیراهی پرداخته و مدل سامانه بینایی را تحت تاثیر آن قرار نمی‌دهند. به عبارتی دیگر فرض می‌کنند که تصویر حاصله از سامانه بینایی پس از اصلاح توسط مدل ابیراهی، فاقد هر گونه ابیراهی است و می‌تواند به عنوان تصویر ایده آل برای مدل سامانه بینایی مورد استفاده قرار گیرد. در هر صورت هر یک از کلاس‌های بیان شده دارای مزایا و معایب خاص خود هستند. به عنوان نمونه هر چند روش‌های فارغ از مدل، با وارد کردن پارامترهای ابیراهی در مدل سامانه بینایی نیاز به کالیبراسیون مدل ابیراهی را کاهش می‌دهند، اما جملات اصلاح شده در مدل سامانه بینایی دیگر دارای تعبیر فیزیکی نخواهند بود. بعلاوه از آنجایی که مدل سامانه بینایی می‌تواند بصورت خطی تحقق یابد، وارد کردن پارامترهای ابیراهی، مدل سامانه بینایی را غیر خطی می‌کند که این مهم نیز از معایب این کلاس به شمار می‌آید. بنابراین پروسه کالیبراسیون باید به صورت غیر خطی جهت تخمین پارامترهای مدل اعمال شود. این مهم کاربرد هایی را که نیاز به کالیبراسیون بلادرنگ دارند به چالش می‌کشد.

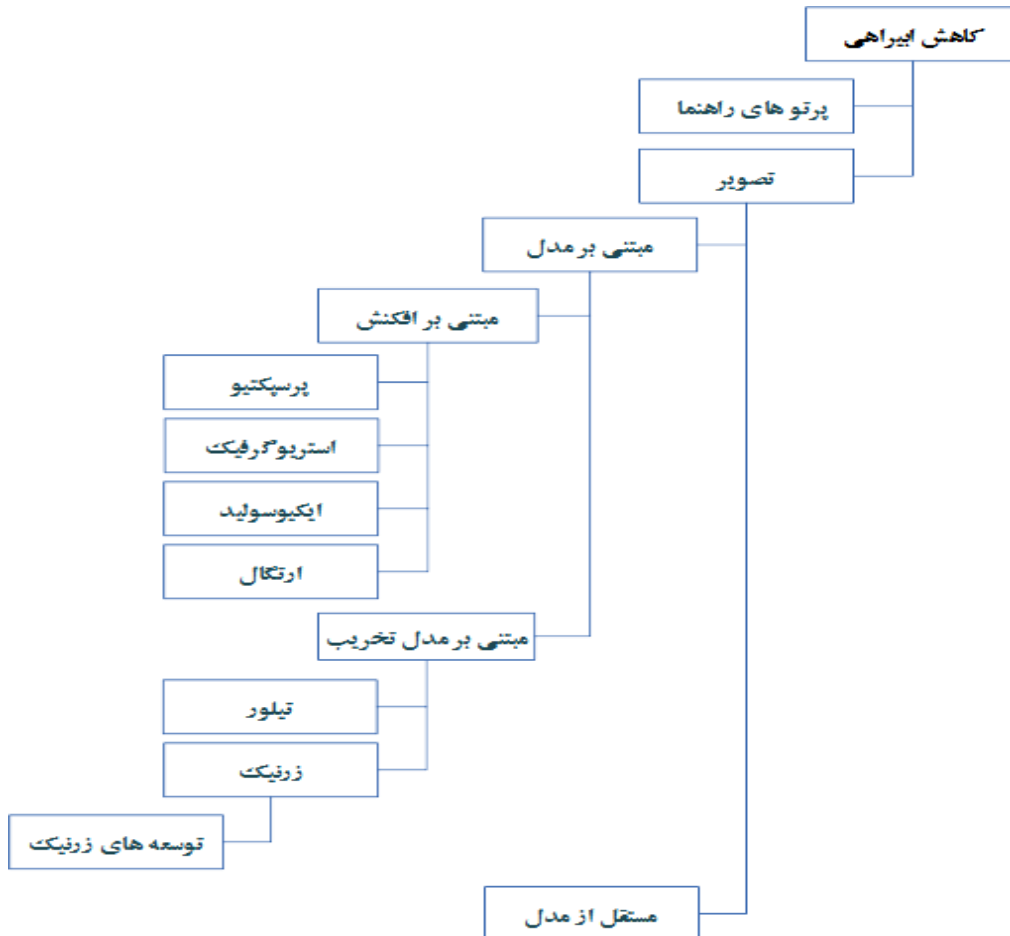
گیرد. بدینسان تابع ابیراهی موج تک‌رنگ را که تاخیرهای زمانی در آن منظور شده، تحت عنوان تابع ابیراهی فاز<sup>۲</sup> می‌شناسند. ابیراهی می‌تواند در دو کلاس کلی طبقه بندی شود: ابیراهی تک‌رنگ<sup>۳</sup> و ابیراهی رنگی<sup>۴</sup>. ابیراهی رنگی به تفرق طول موج‌های مختلف و تغییرات شاخص انکساری<sup>۵</sup> با آن بر می‌گردد؛ در حالی که ابیراهی تک‌رنگ تنها برای یک طول موج نور رخ می‌دهد.

وجود ابیراهی در یک سامانه بینایی تاثیرات منفی زیادی به دنبال دارد. تاثیرات منفی متاثر از ابیراهی در یک سامانه اپتیکی در دو کلاس کلی قابل طرح هستند. کلاس اول مربوط به بررسی اثر ابیراهی در کاهش کیفیت تصویر حاصله می‌باشد. تصویر آلوده اغلب از ماتی محلی در نواحی مختلف خود رنج می‌برد. کلاس دوم مربوط به بزرگنمایی محلی در نواحی مختلف تصویر است که باعث کشیدگی و جمع شدگی محلی شده و موقعیت و ابعاد تصویر اشیاء را روی پرده تصویر تغییر می‌دهد. تاثیرات منفی، در کلاس اول تاثیرات نامطلوب ابیراهی معمولاً پروسه‌های پردازش تصویر را درگیر می‌کند؛ در حالی که در کلاس دوم، تاثیرات نامطلوبی روی پروسه‌های بینایی ماشین از جمله کالیبراسیون سامانه بینایی می‌گذارد.

کاهش ابیراهی راهکارهای مختلفی دارد. شکل ۱ دسته بندی این راهکارها را ارائه می‌دهد. دسته‌ای اول از این راهکارها بر استفاده از پرتوهای راهنمای ویژه ای متکی هستند. پرتوهای مماسی<sup>۶</sup> و پیکانی<sup>۷</sup> نمونه ای از این پرتوها هستند. پروسه تشخیص و تعیین ابیراهی توسط این پرتوها اغلب از این مهم بهره می‌برد که پرتوهای تست از نظر هندسی تنها برخی از ابیراهی‌ها را ظاهر می‌کنند. با تابش این پرتوها به داخل سامانه اپتیکی و سنجش میزان انحراف در بازتابش آنها، می‌توان ابیراهی را در یک سامانه تشخیص و میزان آن را تعیین کرد. بنابراین این راهکارها برای

- 
- 2.Phase aberration function
  - 3.Monochromatic aberration
  - 4.Chromatic aberration
  - 5.Refraction
  - 6.Tangential rays
  - 7.Sagittal rays

- 
- 8.Model based method
  - 9.Non-parametric methods



شکل ۱. دسته بندی راهکار های کاهش ابیراهی

برگرفته شده از دیدگاه اول، دیدگاه مبتنی بر انواع مدل‌های افکنش، چهار مدل کلی را برای افکنش معرفی می‌کنند که عبارتند از: (۱) پرسپکتیو<sup>۱۱</sup>، (۲) استریوگرافیک<sup>۱۲</sup>، (۳) ایکیوسولید<sup>۱۳</sup> و (۴) ارتگال<sup>۱۴</sup>. در مدل‌های افکنش یاد شده تفاوت در نحوه مدل‌سازی رابطه هندسی بین ۳ پارامتر  $\phi$ ، زاویه‌ای که پرتوی یک نقطه حقیقی ساطع شده از پرده شیئی پس از خروج از مردمک خروجی سامانه اپتیکی و در محل برخورد با پرده تصویر با محور اپتیکی می‌سازد،  $f$  فاصله کانونی، و  $r$  موقعیت شعاعی تصویر نقطه شیئی روی پرده تصویر می‌باشد. مدل نهایی ابیراهی از ترکیب خطی وزنی مدل‌های یاد شده حاصل می‌شود. به عنوان نمونه کار

در مقابل، روش‌های مبتنی بر مدل با مدل‌سازی مستقل ابیراهی می‌توانند ابیراهی را به صورت موثرتری مدل کنند. مدل‌سازی مستقل ابیراهی این امکان را فراهم می‌سازد که مدل سامانه بینایی بتواند به صورت خطی تحقق یابد. ضمناً امکان کنترل بیشتر خطای منتشر شده در نتایج مدل ابیراهی نیز میسر می‌گردد. در مقابل، مدل‌های مستقل نیاز به پروسه کالیبراسیون خاص خود دارند. در مدل‌های مستقل جملات می‌توانند تعبیر فیزیکی داشته باشند.

پروسه مدل‌سازی برای روش‌های مبتنی بر مدل، خود نشأت گرفته از دو دیدگاه متفاوت است. دیدگاه اول پروسه مدل‌سازی را بر پایه انواع مدل‌های افکنش<sup>۱۱</sup> انجام می‌دهد. در حالی که دیدگاه دوم مبتنی بر انواع مختلف اثرات تخریب ابیراهی بر تصویر می‌باشد. روش‌های مبتنی بر مدل

- 11.Perspective
- 12.Stereographic
- 13.Equisolid
- 14.Orthogonal

- 10.Projection

بزرگنمایی متاثر از ابیراهی نیز می‌باشد. ایشان از این مهم بهره گرفته اند و برای یک بزرگنمایی مشخص، تابع ابیراهی را تخمین زده اند. احمد و همکاران [5] و همچنین هارتلی و کنگ [6] نیز از مدل یکسانی برای مدل‌سازی تابع ابیراهی بهره گرفته اند. تفاوت کار ایشان در نحوه تخمین پارامترها می‌باشد.

همان گونه که بیان گردید، برای بازنمایش و مدل‌سازی ابیراهی موج تک‌رنگ می‌توان از توسعه چندجمله‌ای‌ها بهره جست. هر چند بهره‌گیری از توسعه چندجمله‌ای زرنیک پیشتر در راهکارهای مبتنی بر پرتوهای راهنما مورد استفاده قرار گرفته است، اما بهره‌گیری از آنها تاکنون در راهکارهایی که صرفاً مبتنی بر تصویر نقش بسته بر پرده تصویر طراحی می‌شوند، بر اساس جستجوهای نگارنده صورت نگرفته است. بهره‌گیری از توسعه چندجمله‌ای زرنیک در مقام قیاس با بسط تیلور که در بسیاری از مقالات از آن بهره گرفته شده است [4-7] دارای ویژگی‌هایی است که به استناد آنها استفاده از آن می‌تواند موثرتر واقع گردد. ابتدا اینکه ضرایب زرنیک به صورت فرم کاملی از یک مجموعه متعامد روی دایره واحد تعریف می‌شوند. دوم اینکه چند جمله‌ای‌های زرنیک یک بازنمایش متعادل از ابیراهی را نشان می‌دهند. این بدان معنی است که چند جمله‌ای‌های زرنیک حاصل از ترکیب جملاتی از سری‌های توانی هستند که به گونه‌ای بهینه متعادل شده اند که واریانس را حول مردمک خروجی کمینه سازند [8] سوم اینکه ضریب هر جمله در توسعه چندجمله‌ای زرنیک خود نشان دهنده انحراف معیار استاندارد نسبت به آن جمله می‌باشد، که مجموع مربعات این ضرایب واریانس ابیراهی کل را نشان می‌دهد. چهارم اینکه برخلاف مدل‌های مبتنی بر بسط تیلور که نمی‌توانند بازنمایش مناسبی از ابیراهی و اعوجاج محلی باشند [9]، مدل برگرفته از چندجمله‌ای زرنیک برای بازنمایش ابیراهی و اعوجاج محلی نیازی به بخش بندی و تکه تکه سازی تصویر ندارد. و در آخر هر چند مدل تیلور برای لنزهای مرکب مناسب نیست [10]، مدل زرنیک در مدل‌سازی لنزهای مرکب می‌تواند بازدهی خود را حفظ کند. امروزه ابیراهی لنز با بهره‌گیری از روشهای مبتنی بر راهکارهای غیر متریک و مدل‌های خود کالیبره کننده اصلاح

اورخوف و همکاران [11] در این گروه قرار می‌گیرد. ویژگی مهم این دیدگاه امکان پوشش طیف وسیعی از ابیراهی‌ها، از جمله ابیراهی‌های مربوط به لنزهای ماکرو<sup>۱۵</sup> تا ابیراهی‌های مربوط به لنزهای تله<sup>۱۶</sup> می‌باشد. روش‌های مبتنی بر مدل برگرفته شده از دیدگاه دوم، دیدگاه مبتنی بر انواع اثرات ابیراهی روی تصویر، اغلب از بسط تیلور برای مدل‌سازی ابیراهی بهره می‌برند.

به عنوان نمونه گرامفون [2] و وینسنت و همکاران [3] در کارهای خود مدل دوربین پین هول<sup>۱۷</sup> را به گونه‌ای با بهره‌گیری از هموگرافی معکوس پذیر<sup>۱۸</sup> اصلاح کردند که ماتریس پارامترهای داخلی و خارجی دوربین<sup>۱۹</sup>، کشیدگی‌های ناخواسته ناشی از بزرگنمایی محلی را در خود توصیف کند. بدین سان پارامترهای مدل اصلاح شده پین هول هر چند از ماهیت فیزیکی خود فاصله گرفتند ولی در مقابل پروسه کالیبراسیون دوربین بدون نیاز به کالیبراسیون مجزا برای استخراج پارامترهای ابیراهی قابل بهره برداری می‌باشد. آنها مدل جدید دوربین را مدل پین هول مجازی<sup>۲۰</sup> نامیده اند. کار این دو در نحوه تعیین پارامترهای مدل با یکدیگر تفاوت دارد.

همچنین لین و همکاران [4] در کار خود به اصلاح ابیراهی مبتنی بر مدل پرداخته اند. ایشان تابع ابیراهی را به کمک بسط تیلور مدل کرده و پارامترهای آن را با بهره‌گیری از این حقیقت تخمین زده اند که میزان ابیراهی موثر در مرکز ابیراهی نسبت به دیگر نقاط به شدت کمتر است. بنابراین اگر مرکز ابیراهی مرکز تصویر فرض شود، انتظار داریم برای یک بزرگنمایی<sup>۲۱</sup>، تفاوت مکانی نقاط الگوهای حول مرکز تنها برابر پارامتر بزرگنمایی باشد و از جابجایی ناشی از کشیدگی و جمع شدگی ابیراهی تأثیر نپذیرد، در حالی که این مهم برای نقاط الگوهای دیگر بخش‌های تصویر این گونه نیست و میزان جابجایی این نقاط علاوه بر پارامتر

15. Macro lenses

16. Tele lenses

17. Camera pinhole model

18. Invertible homography

19. Camera intrinsic and extrinsic matrix

20. Virtual pinhole model

21. Zoom

متقارن شود. بنابراین انتظار می‌رود که با وارد کردن خطای خروج از مرکز در مدل زرنیک، واریانس توزیع ابیراهی نسبت به توزیع جملات متقارن کاهش یافته و فرایند کالیبراسیون بتواند دقیقتر انجام گردد. در این راستا، ابیراهی‌های زایدل<sup>۲۹</sup> در قالب مومنت‌های اصلاح شده زرنیک مبتنی بر چندجمله‌ای چبیشف نوع دوم به صورت تابع مجزا روی فضای کارترین بازنویسی می‌گردند. سپس مومنت‌های بازنویسی شده به گونه‌ای اصلاح می‌گردند که با در نظر گرفتن خطای خروج از مرکز، تابع ابیراهی فاز را نیز مدل کنند. فرایند کالیبراسیون در این تحقیق برای ابیراهی‌های متقارن و نامتقارن تصویر به ترتیب با کمینه‌سازی متوسط همبستگی روی کامیولنت‌های تصویر با بهره‌گیری از آنالیز چند طیفی bi-coherence و tri-coherence صورت پذیرفته است.

دیگر بخش‌های مقاله به این صورت سازمان دهی شده اند: مدل ریاضی ابیراهی لنز در بخش ۲ توضیح داده شده است. پروسه کالیبراسیون در بخش ۳ شرح داده می‌شود. بخش ۴ میزان موثر بودن و دقت راه‌کار پیشنهادی را بررسی می‌کند. و بخش ۵ نتایج را در بر دارد.

## ۲. مدل ریاضی ابیراهی لنز

در ابیراهی موج تک‌رنگ<sup>۳۰</sup>،  $W(\rho, \theta)$  به مختصات شعاعی  $\rho$  و زاویه گردشی  $\theta$  می‌تواند به صورت یک توسعه چندجمله‌ای در فرم زیر بازنمایش شود که در این رابطه  $c_n^m$  ها ضرایب توسعه زرنیک و  $Z_n^m$  چندجمله‌ای زرنیک می‌باشند.

$$W(\rho, \theta) = \sum_{n=0}^{\infty} \sum_{m=0}^n c_n^m Z_n^m(\rho, \theta) \quad (1)$$

با توسعه چندجمله‌ای زرنیک تابع ابیراهی فاز می‌تواند در فرم زیر بازنویسی گردد:

$$W(\rho, \theta) = \quad (2)$$

29. Seidel aberration  
30. Monochromatic wave aberration

می‌شود [2, 11-14]. این گروه از راه‌کارها، اغلب از بردارهای ویژگی در تصویر همانند خطوط مستقیم، دایره‌ها و نقاط ناپدید شدن<sup>۳۲</sup> استفاده می‌کنند. عدم وجود برخی از بردارهای ویژگی یاد شده و یا کاهش شمار آنها در تصویر، برخی مواقع منجر به شکست فرآیند کالیبره کردن می‌شود. به همین واسطه و به دلیل وجود برخی از ویژگی‌های غیر خطی لنز، استفاده از آنالیز چند طیفی<sup>۳۳</sup> در تشخیص و تعیین میزان ابیراهی توجیه پذیر است. اصلاح ابیراهی لنز با بهره‌گیری از آنالیز چند طیفی bi-coherence پیشتر معرفی شده است [15-17]. در استفاده از آنالیز چند طیفی خصوصیات منحصر به فردی وجود دارد. اول اینکه با بهره‌گیری از آنالیز چند طیفی، دیگر نیازی به پروسه تشخیص بردارهای ویژگی یاد شده نخواهد بود. و دوم اینکه پروسه کالیبراسیون تحت تاثیر شکست پروسه‌های استخراج بردارهای ویژگی قرار نمی‌گیرد.

روش پیشنهادی در این مقاله از مزایای مدل‌سازی به کمک توسعه ضرایب زرنیک بهره می‌برد. جملات زرنیک مد ۱ و ۲ قابلیت مدل‌سازی خطای prism را در خود دارند. به عبارتی دیگر جملات یاد شده می‌توانند عدم متعام بودن پرده تصویر و محور اپتیکی را به شکل موثری مدل کنند. با توجه به توزیع جملات زرنیک، مدل‌سازی به کمک چندجمله‌ای زرنیک می‌تواند در دو کلاس کلی ابیراهی‌های متقارن مشتمل بر کوما<sup>۳۴</sup> و اعوجاج<sup>۳۵</sup> و ابیراهی‌های نامتقارن شامل ابیراهی کروی<sup>۳۶</sup>، آستگماتیسم<sup>۳۷</sup> و عدم تطبیق<sup>۳۸</sup> صورت بپذیرد. زمانی که بواسطه خطای مونتاژ، خطای خروج از مرکز تصویر در سامانه اپتیکی ظاهر می‌شود، فرایند کالیبراسیون دیگر نمی‌تواند پارامترهای جملات متقارن را با دقت تعیین کند. چرا که وجود خطای خروج از مرکز تصویر در سامانه اپتیکی می‌تواند منجر به افزایش واریانس توزیع ابیراهی نسبت به توزیع جملات

22. Vanishing points  
23. Poly-spectral analysis  
24. Coma  
25. Distortion  
26. Spherical aberration  
27. Astigmatism  
28. Defocus

$$2 \sum_{\substack{m=1 \\ m \text{ odd}}}^n R_n^m(\rho) \cos(m\theta) \quad (۷)$$

$$= U_n(x), n \text{ odd}$$

$$R_n^0(\rho) + 2 \sum_{\substack{m=2 \\ m \text{ even}}}^n (-1)^{m/2} R_n^m(\rho) \sin(m\theta) \quad (۸)$$

$$= U_n(y), n \text{ even}$$

$$2 \sum_{\substack{m=1 \\ m \text{ odd}}}^n (-1)^{(m-1)/2} R_n^m(\rho) \cos(m\theta) \quad (۹)$$

$$= U_n(y), n \text{ odd}$$

در معادلات بالا  $U_n$  چندجمله‌ای چبیشف نوع دوم مرتبه  $n$  ام می‌باشد. همچنین:

$$x = \rho \cos(\theta), y = \rho \sin(\theta) \quad (۱۰)$$

بنابراین هر تابع دلخواه می‌تواند به سادگی به کمک چندجمله‌ای چبیشف گسترش و از این رو در چندجمله‌ای زرنیک توسعه یابد. جدول ۱ بازنمایشی از چندجمله‌ای‌های زرنیک معادل ابیراهی زایدل را نشان می‌دهد. همچنین در این جدول برای هر نوع ابیراهی، توصیف آن به کمک چندجمله‌ای چبیشف نیز نشان داده شده است. شکل ۲ نیز توزیع ابیراهی‌های زایدل را با بهره‌گیری از چندجمله‌ای زرنیک نمایش می‌دهد.

برای جبران خروج از مرکز تصویر، مدل ارائه شده به کمک چندجمله‌ای چبیشف نوع دوم معادل چندجمله‌ای زرنیک به گونه‌ای اصلاح می‌شود که بردار انتقال مرکز ابیراهی در آن لحاظ گردد. به عبارتی دیگر:

$$W(x, y) = \sum_j w_j \cdot {}^{ch}Z_j(x - x_0, y - y_0) + E(x, y) \quad (۱۱)$$

زایدل می‌باشد.  ${}^{ch}Z_j(x - x_0, y - y_0)$  توزیع هر یک از ابیراهی‌های زایدل است که به مرکزیت  $(x_0, y_0)$  به کمک چندجمله‌ای چبیشف نوع دوم بیان شده است. همچنین  $E(x, y)$  نیز خطای باقیمانده مدل سازی می‌باشد.

$$\sum_{n=0}^{\infty} \sum_{m=0}^n C_n^m \left[ \sqrt{\frac{2(n+1)}{1+\delta_{m0}}} \right] R_n^m(\rho) \cos(m\theta)$$

در این رابطه نیز  $\delta_{m0}$  تابع دلتای کرونکر،  $n$  و  $m$  اعداد صحیح مثبت هستند به گونه‌ای که  $n - m \geq 0$

$$R_n^m(\rho) = \frac{\sum_{s=0}^{(n-m)/2} (-1)^s (n-s)!}{s! \left(\frac{n+m}{2} - s\right)! \left(\frac{n-m}{2} - s\right)!} \rho^{n-2s} \quad (۳)$$

همچنین یک تابع چندجمله‌ای با درجه  $m$  روی  $\rho$  شامل جملات  $\rho^n, \rho^{n-2}, \dots, \rho^m$  است.  $C_n^m$  ها، ضرایب توسعه زرنیک به صورت زیر خواهند بود.

$$C_n^m = \left(\frac{1}{\pi}\right) \sqrt{2(n+1)(1+\delta_{m0})} \times \int_0^1 \int_0^{2\pi} W(\rho, \delta) R_n^m(\rho) \cos(m\theta) \rho d\rho d\theta \quad (۴)$$

در عمل برای بازنمایش تابع ابیراهی موج از تعداد محدود  $N$  از چندجمله‌ای‌های زرنیک استفاده می‌شود. بنابراین می‌توان تابع ابیراهی موج تک‌رنگ را به صورت زیر خلاصه کرد.

$$W(\rho, \theta) = \sum_{n=0}^N \sum_{m=0}^M C_n^m Z_n^m(\rho, \theta) + E(\rho, \theta) \quad (۵)$$

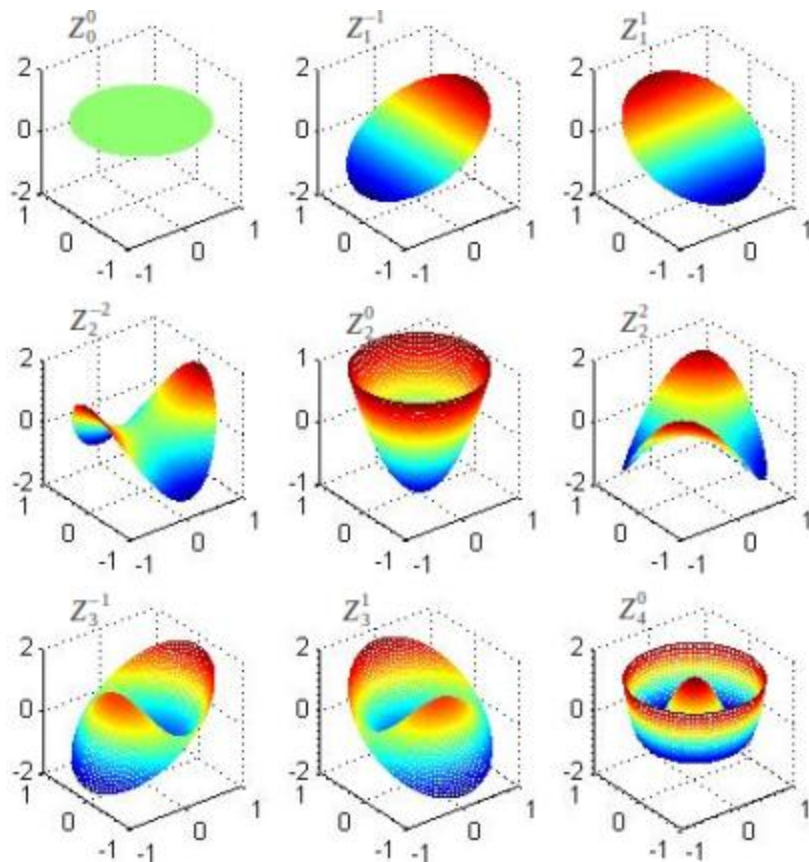
چندجمله‌ای زرنیک می‌تواند مبتنی بر چندجمله‌ای چبیشف نوع دوم<sup>۳۱</sup> به صورت توابع مجزا روی فضای کارترین تعریف گردد. شپارد و همکاران [18] نشان دادند که بین چندجمله‌ای دایروی زرنیک و چندجمله‌ای چبیشف نوع دوم روابط زیر برقرار است:

$$R_n^0(\rho) + 2 \sum_{\substack{m=2 \\ m \text{ even}}}^n R_n^m(\rho) \cos(m\theta) = U_n(x), n \text{ even} \quad (۶)$$

اصلاح توام نقص ابیراهی لنز دوربین و خطای خروج از مرکز تصویر با بهره‌گیری از مدل اصلاح شده زرنیک

جدول ۱. توسعه چندجمله‌ای زرنیک برای ابیراهی زایدل در کنار توصیف آن به کمک چندجمله‌ای چیشف

چندجمله‌ای چیشف نوع $chZ_j(x, y)$ دوم	مفهوم	$Z_n^m(\rho, \theta)$	فرکانس (m)	مرتبه (n)	#
$U_0(x)$	مقدار ثابت (Piston)	۱	۰	۰	۰
$\frac{1}{2}U_1(x)$	x-کجی (Tilt)	$2\rho\sin(\theta)$	-۱	۱	۱
$\frac{1}{2}U_1(y)$	y-کجی	$2\rho\cos(\theta)$	۱	۱	۲
$\frac{1}{2}U_1(x) \cdot U_1(y)$	آستیگماتیسم (±۴۵ درجه)	$\sqrt{6}\rho^3\sin(2\theta)$	-۲	۲	۳
$\frac{1}{2}(U_2(x) + U_2(y))$	انحنای عرصه (Field curvature)، عدم تطبیق (Defocus)	$\sqrt{3}(2\rho^3 - 1)$	۰	۲	۴
$\frac{1}{4}(-U_2(x) + U_2(y))$	آستیگماتیسم (۰ یا ۹۰ درجه)	$\sqrt{6}\rho^3\cos(2\theta)$	۲	۲	۵
$\frac{3}{8}(U_1(x)U_2(y) + U_3(x)) + \frac{1}{8}(U_1(x))$	y-کوما (Coma)	$\sqrt{8}(3\rho^3 - 2\rho)\sin(\theta)$	-۱	۳	۷
$\frac{3}{8}(U_1(y)U_2(x) + U_3(y)) + \frac{1}{8}(U_1(y))$	x-کوما	$\sqrt{8}(3\rho^3 - 2\rho)\cos(\theta)$	۱	۳	۸
$\frac{3}{4}U_2(x)U_2(y) + \frac{3}{8}(U_4(x) + U_4(y) + U_2(x) + U_2(y)) + \frac{1}{4}(U_0(x))$	ابیراهی کروی (Spherical)، عدم تطبیق (Defocus)	$\sqrt{10}(4\rho^4 - 3\rho^2)\sin(4\theta)$	۰	۴	۱ ۲



شکل ۲. ابیراهی‌های زاید با بهره‌گیری از چندجمله‌ای زرنیک از چپ به راست و از بالا به پایین عبارتند از  $Z_0^0$ : مقدار ثابت (Piston)،  $Z_1^{-1}$ :  $x$ -کجی (Tilt)،  $Z_1^1$ :  $y$ -کجی،  $Z_2^{-2}$ : آستیگماتیسم ( $\pm 45^\circ$  درجه)،  $Z_2^0$ : انحنای عرصه (Field curvature)، عدم تطبیق (Defocus)،  $Z_2^2$ : آستیگماتیسم ( $0^\circ$  یا  $90^\circ$  درجه)،  $Z_3^{-1}$ :  $y$ -کوما (Coma)،  $Z_3^1$ :  $x$ -کوما،  $Z_4^0$ : ابیراهی کروی (Spherical)، عدم تطبیق (Defocus)

### ۳. پروسه کالیبراسیون

شکل ۳ اجزای پایه یک سامانه اپتیکی متقارن را توضیح می‌دهد. در یک چنین سامانه ای، یک پرتو که از مردمک خروجی خارج می‌شود پرده تصویر را در مختصات  $(X', Y')$  قطع می‌کند. عموماً، این پرتو از نقطه ایده آل خود روی پرده تصویر نمی‌گذرد. این مهم در شکل ۴ به تصویر کشیده شده است. می‌توان در نظر گرفت که اگر نقطه انحراف در شرایط عمل  $\vec{H} = H_x \hat{i} + H_y \hat{j}$  باشد و نقطه ایده آل در مختصات  $(h'_x, h'_y)$ ، آنگاه نقطه تقاطع با پرده تصویر در مختصات  $(X', Y')$  خواهد بود.

$$(X', Y') = (h'_x, h'_y) + (\epsilon_x, \epsilon_y) \quad (12)$$

با در نظر گرفتن تابع ابیراهی در مختصات کارتزین، ضرایب  $\epsilon_x$  و  $\epsilon_y$  می‌توانند به فرم تابع موج ابیراهی تک‌رنگ بصورت زیر تخمین زده شوند.

$$W(x, y) = \sum_j w_j \frac{ch}{h} Z_j(x - x_0, y - y_0) \quad (13)$$

نسبت به مکان ایده آل خود روی پرده تصویر، با دیفرانسیل محلی جبهه ابیراهی موج تک‌رنگ در آن نقطه متناسب است، داریم:

بنابراین تابع هزینه زیر جهت استخراج پارامترهای مجهول مورد بحث پیشنهاد می‌گردد:

$$F(w_1, w_1, \dots, w_j, x_0, y_0) = \frac{1}{N \times M \sum_{f_h=1}^N \sum_{f_v=1}^M |\beta_{f_h f_v} - \beta'_{f_h f_v}|^2} \quad (16)$$

در این رابطه  $\beta_{f_1 f_2}$  و  $\beta'_{f_1 f_2}$  به ترتیب ماتریس‌های آنالیز چند طیفی تصویر مبدأ و تصویر اصلاح شده می‌باشند. همچنین،  $f_h$  و  $f_v$  مولفه‌های فرکانس افقی و عمودی تصویر می‌باشند.  $N$  و  $M$  نیز به ترتیب تعداد مولفه‌های افقی و عمودی فرکانس تصویر هستند.

با توجه به مطالب یاد شده الگوریتم کلی اصلاح ابیراهی تصویر به صورت شکل صفحه بعد پیشنهاد می‌شود

#### ۴. نتایج آزمایشگاهی

جهت تحقیق میزان اعتبار راه‌کار پیشنهادی، دو تابع  $F_1$  و  $F_2$  به عنوان توابع توزیع ابیراهی در نظر گرفته شده است. سپس سعی گردیده توابع توزیع ابیراهی توسط چند جمله‌ای زرنیک و چند جمله‌ای اصلاح شده زرنیک به نحو مناسبی مدل شود و کیفیت دقت و بازدهی آنها مورد تحلیل قرار گیرد. وجه تمایز تابع  $F_1$  با  $F_2$  در تقارن آن دو می‌باشد. لازم به توضیح است که مرکز این دو تابع در مختصه  $[0.2, 0.2]$  در دستگاه مختصات کارتیزین قرار دارد و مقدار آنها نیز در بازه  $[-1, 1]$  بهنجار<sup>۳۲</sup> شده است.

رابطه ۱۷ معادله اولین تابع ابیراهی پیش فرض ( $F_1$ ) را بیان می‌کند. همچنین این تابع در شکل ۵-الف نشان داده شده است. شکل‌های ۵-ب و ۵-پ به ترتیب توابع ابیراهی تخمین زده شده را برای تابع ابیراهی  $F_1$  به کمک چند جمله‌ای زرنیک و چند جمله‌ای اصلاح شده زرنیک نشان می‌دهند

$$\frac{\partial W(x, y)}{\partial y} = \frac{\epsilon_y(x, y)}{f} \quad (14)$$

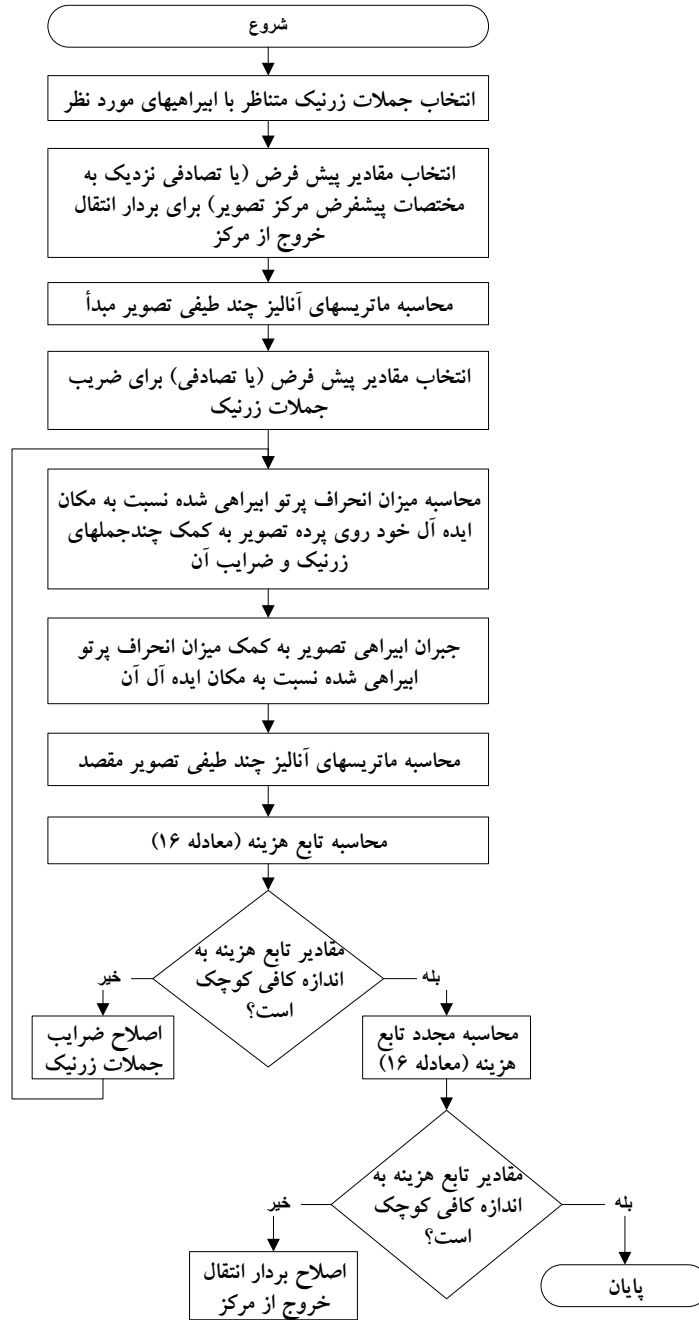
$$\frac{\partial W(x, y)}{\partial x} = \frac{\epsilon_x(x, y)}{f}$$

که  $f$  فاصله کانونی لنز می‌باشد. با مشتق‌گیری از معادله ۱۳ نسبت به  $x$  و  $y$  و جایگزین کردن آن در معادله ۱۴، رابطه ۱۵ نتیجه می‌شود.

$$\frac{\epsilon_y(x, y)}{f} = \sum_j w_j \frac{\partial^{ch} Z_j(x - x_0, y - y_0)}{\partial y} \quad (15)$$

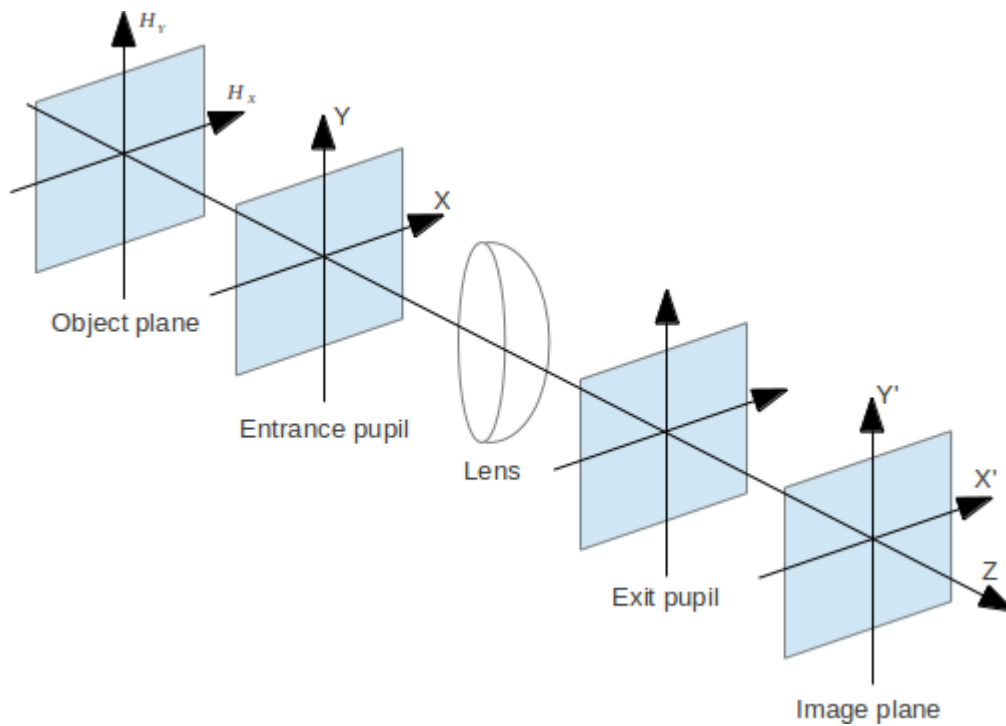
$$\frac{\epsilon_x(x, y)}{f} = \sum_j w_j \frac{\partial^{ch} Z_j(x - x_0, y - y_0)}{\partial x} \quad (16)$$

معادله ۱۵ مقادیر ابیراهی را در قالب ابیراهی زرنیک اصلاح شده توصیف می‌کند. ضرایب زرنیک اصلاح شده  $w_j$  می‌توانند با بهره‌گیری از آنالیز چند طیفی تخمین زده شوند. اجزای پرتو ابیراهی می‌توانند در دو کلاس کروماتیک و آستیگماتیک طبقه بندی شوند. از آنجایی که اجزای کروماتیک و آستیگماتیک کوپل همدیگر نیستند لذا نمی‌توانند برای متعادل کردن یکدیگر بکار روند. اجزای آستیگماتیک شامل ابیراهی کروی، آستیگماتیسم و عدم تطبیق بوده و ابیراهی کروماتیک مشتمل بر کوما و اعوجاج است. بعلاوه چند جمله‌ای‌های زرنیک نیز می‌توانند برای ابیراهی‌های متقارن (ابیراهی‌های کروماتیک) و همچنین ابیراهی‌های نامتقارن (ابیراهی‌های آستیگماتیک) در دو کلاس متقارن و نامتقارن دسته‌بندی شوند. از طرفی می‌دانیم که آنالیز چند طیفی tri-coherence ذاتا به سیگنال‌های متقارن حساس است و همچنین آنالیز چند طیفی bi-coherence به سیگنال‌های نامتقارن [19]. بنابراین بهره‌گیری از آنالیز چند طیفی tri-coherence و bi-coherence به ترتیب برای تخمین پارامترهای کلاس کلی ابیراهی‌های متقارن و نامتقارن قابل توجیه است. و انتظار می‌رود که مقادیر واقعی ابیراهی لنز را بتوان به گونه‌ای مناسب تر تخمین زده و متوسط همبستگی محاسبه شده را کمینه سازند.

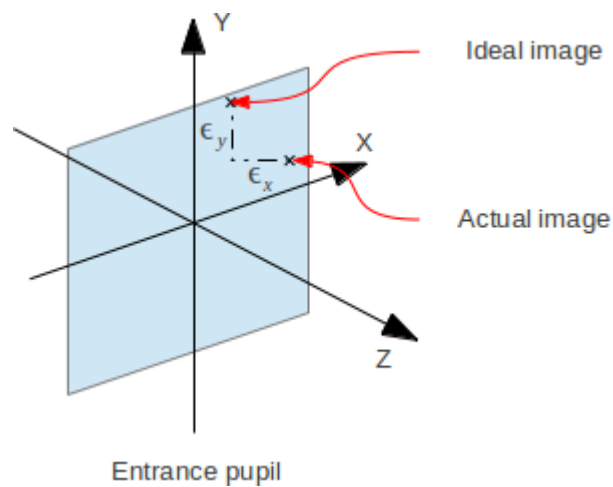


الگوریتم پیشنهادی اصلاح ابیراهی تصویر

اصلاح توام نقص ابیراهی لنز دوربین و خطای خروج از مرکز تصویر با بهره‌گیری از مدل اصلاح شده زرنیک



شکل ۳. اجزای پایه یک سامانه اپتیکی متقارن



شکل ۴. پرده تصویر و مختصه پرتویی ابیراهی یافته نسبت به شرایط ایده آل

۲.۷ برابری راه‌کار پیشنهادی دارد. بعلاوه جذر میانگین مربعات خطا نیز بهبود ۱.۴۹ برابری را نشان می‌دهد.

رابطه ۱۸ معادله دومین تابع ابراهمی پیش فرض ( $F_2$ ) را بیان می‌کند. شکل ۶-الف ترسیم این تابع را نشان می‌دهد. همان گونه که در شکل ۶-الف دیده می‌شود تقارن در توزیع ابراهمی این تابع ضعیف است. بنابراین انتظار می‌رود که بهره‌گیری از پروسه سنجش مرکز تصویر تأثیری در دقت نتایج نداشته باشد. شکل‌های ۶-ب و ۶-پ به ترتیب توابع ابراهمی تخمین زده شده را برای تابع ابراهمی  $F_2$  به کمک چندجمله‌ای زرنیک و چندجمله‌ای اصلاح شده زرنیک نشان می‌دهند. همچنین شکل‌های ۶-ت و ۶-ث نیز به ترتیب خطای تخمین تابع ابراهمی  $F_2$  را برای مدل‌سازی به کمک چندجمله‌ای زرنیک و چندجمله‌ای اصلاح شده زرنیک نشان می‌دهند. مقایسه نمودار خطای باقیمانده توسط مدل‌سازی به کمک چندجمله‌ای زرنیک و چندجمله‌ای اصلاح شده زرنیک (شکل‌های ۶-ت و ۶-ث) نشان می‌دهد که مدل‌سازی با بهره‌گیری از چندجمله‌ای اصلاح شده زرنیک توفیق‌چندانی در دقت نتایج نسبت به مدل‌سازی به کمک چندجمله‌ای زرنیک ندارد. شکل ۶-ج، تابع نقطه گستر میزان توفیق مدل‌سازی به کمک چندجمله‌ای اصلاح شده زرنیک را نسبت به مدل‌سازی به کمک چندجمله‌ای زرنیک نشان می‌دهد. مقایسه تابع نقطه گستر نمایش داده شده در شکل ۶-ج با تابع نقطه گستر نمایش داده شده در شکل ۵-ج نیز این مهم را یادآوری می‌کند. همچنین این مهم در جدول ۳ نیز قابل مشاهده می‌باشد. این جدول نتایج عددی در تخمین این تابع را به کمک چندجمله‌ای زرنیک و چندجمله‌ای اصلاح شده زرنیک بررسی می‌کند. مطالعه این جدول نشان می‌دهد که به دلیل نقش بالای جملات نامتقارن در تخمین ابراهمی کل، الزاما تعیین دقیق خروج از مرکز تصویر تأثیر بارزی در میزان دقت تخمین ابراهمی کل ندارد. این مهم با مقایسه بیشینه اندازه خطای باقیمانده در مدل‌سازی به کمک چندجمله‌ای زرنیک اصلاح شده و چندجمله‌ای زرنیک قابل تحقیق است. همچنین مقایسه جذر میانگین مربعات خطا نیز در مدل‌سازی به کمک چندجمله‌ای زرنیک اصلاح شده و چندجمله‌ای زرنیک این مهم را تأیید می‌کند.

$$F2: (y - 0.2)^3 + (x - 0.2)^4 \quad (18)$$

(normalized between [-1,1])

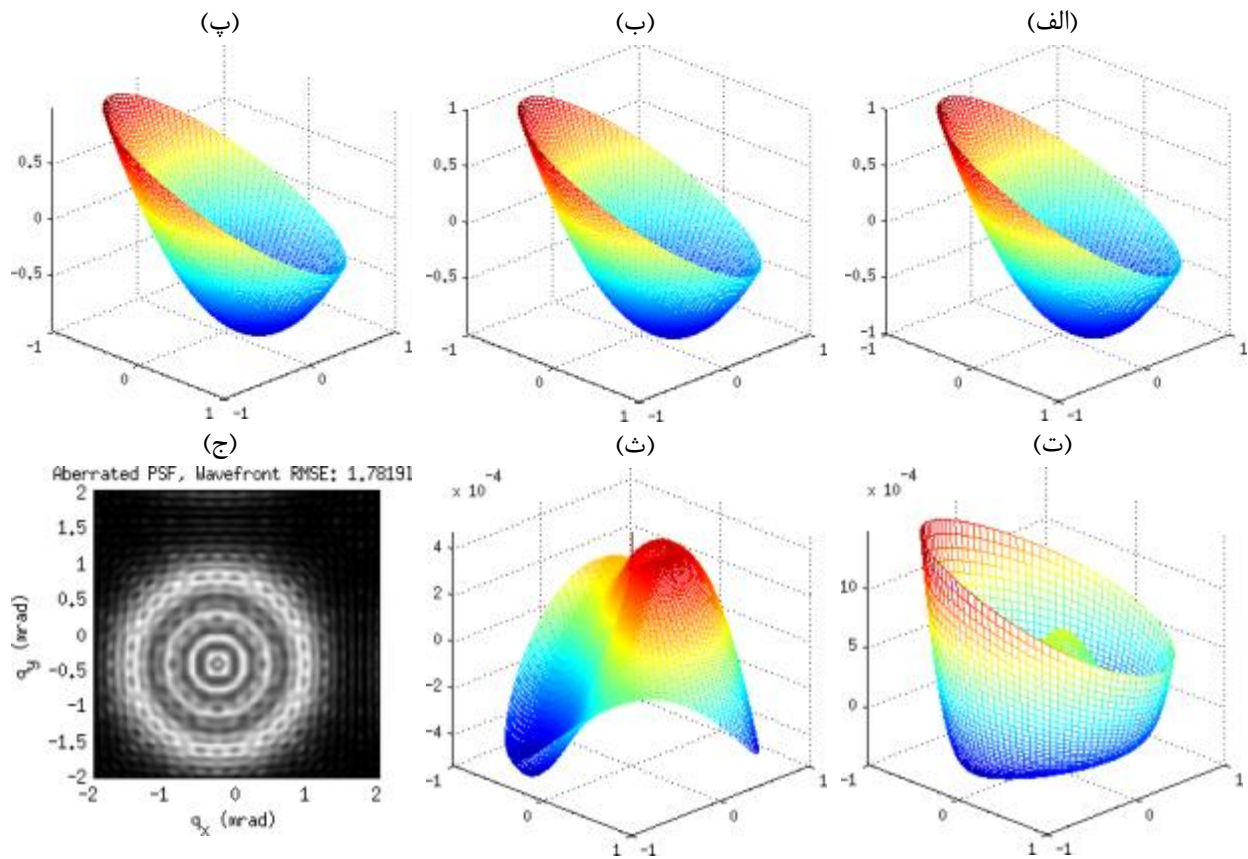
همچنین شکل‌های ۵-ت و ۵-ث نیز به ترتیب خطای تخمین تابع ابراهمی  $F_1$  را برای مدل‌سازی به کمک چندجمله‌ای زرنیک و چندجمله‌ای اصلاح شده زرنیک نشان می‌دهند. مقایسه نمودار خطای باقیمانده توسط مدل‌سازی به کمک چندجمله‌ای زرنیک و چندجمله‌ای اصلاح شده زرنیک (شکل‌های ۵-ت و ۵-ث) نشان می‌دهد که به واسطه وجود بردار خروج از مرکز، مدل‌سازی به کمک چندجمله‌ای زرنیک نتوانسته است تخمین مناسبی از تابع  $F_1$  را ارائه کند. همان گونه که مشاهده می‌شود در تخمین به کمک چندجمله‌ای زرنیک به علت عدم تخمین مناسب پارامترهای مربوط به جملات متقارن، تقارن تابع هدف به درستی تخمین زده نشده است و این تقارن در نمودار خطای باقیمانده توسط مدل قابل رویت است. این در حالی است که در مدل‌سازی به کمک چندجمله‌ای اصلاح شده زرنیک تقارن یاد شده وجود ندارد. همچنین شکل ۵-ج تابع نقطه گستر<sup>۳۳</sup> عدم توفیق مدل‌سازی به کمک چندجمله‌ای زرنیک را نسبت به مدل‌سازی به کمک چندجمله‌ای اصلاح شده زرنیک نشان می‌دهد. مطالعه این شکل نیز نشان از میزان مؤثر بودن جبران خروج از مرکز تصویر در مدل‌سازی ابراهمی به کمک چندجمله‌ای زرنیک دارد.

$$F1: (y - 0.2)^2 + (x - 0.2)^2 \quad (17)$$

(normalized between [-1,1])

جدول ۲ نتایج عددی در تخمین تابع  $F_1$  را بررسی می‌کند. مطالعه این جدول نشان می‌دهد که ضریب مد دوازده چندجمله‌ای زرنیک نزدیک به ۱۸ مرتبه کاهش یافته است. با در نظر گرفتن توزیع تابع ابراهمی پیش‌فرض (شکل ۵-الف) و همچنین توزیع جمله مد دوازدهم چندجمله‌ای زرنیک (شکل ۱)، این کاهش را می‌توان توفیق مدل‌سازی به کمک چندجمله‌ای اصلاح شده زرنیک در مدل‌سازی تابع ابراهمی مورد نظر دانست. چرا که طبق انتظار سهم بسیار کمتری به ابراهمی کروی و یا عدم تطبیق در نظر گرفته شده است. همچنین مقایسه بیشینه اندازه خطای باقیمانده در مدل‌سازی به کمک زرنیک اصلاح شده نشان از بهبود

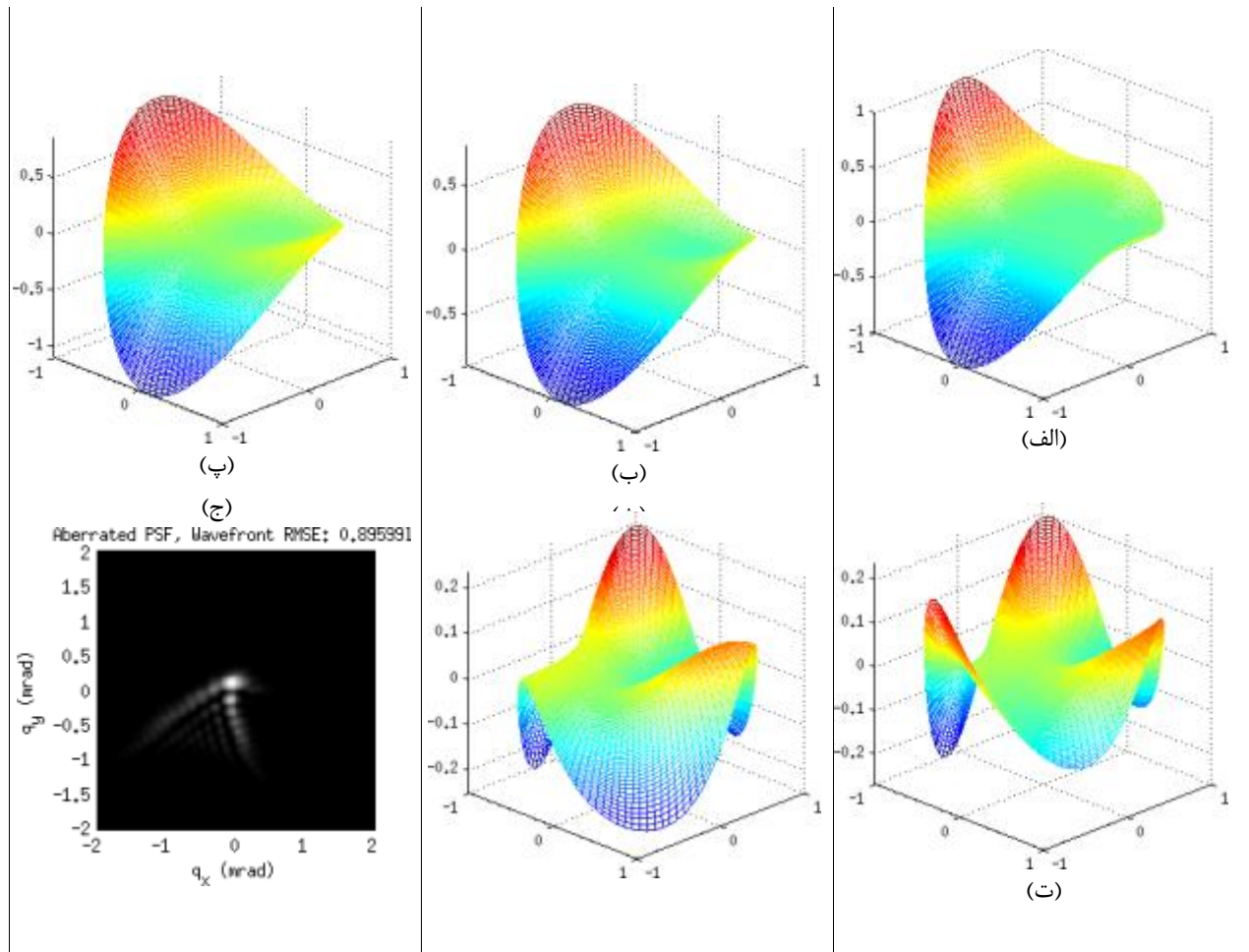
اصلاح توام نقص ابیراهی لنز دوربین و خطای خروج از مرکز تصویر با بهره‌گیری از مدل اصلاح شده زرنیک



شکل ۵. تحقیق میزان اعتبار راه کار پیشنهادی برای تابع  $F_1$  (الف) تابع ابیراهی مفروض، (ب) تابع ابیراهی تخمین زده شده با چندجمله‌ای زرنیک، (پ) تابع ابیراهی تخمین زده شده با چندجمله‌ای اصلاح شده زرنیک، (ت) خطای مدل سازی با چندجمله‌ای اصلاح شده زرنیک، (ج) تابع نقطه گستر عدم مدل سازی با چندجمله‌ای زرنیک نسبت به چندجمله‌ای اصلاح شده زرنیک

جدول ۱. مقایسه همی راه کار مبتنی بر زرنیک اصلاح شده با راه کار مبتنی بر زرنیک در مدل سازی تابع ابیراهی  $F_1$

ضرایب زرنیک اصلاح شده	ضرایب زرنیک	#مد		
		مرتبه (n)	فرکانس (m)	
-۰.۵۲۳۰۴۰	-۰.۵۲۳۰۴۰	۰	۰	۰
-۰.۵۹۳۰۷۸	-۰.۴۳۰۸۵۲	۱	-۱	۱
۰.۱۴۰۲۸۳	-۰.۴۳۰۸۷۹	۱	۱	۲
-۰.۰۰۰۱۳۳	-۰.۰۰۰۰۱۹	۲	-۲	۳
۰.۶۲۱۶۱۲	۰.۶۲۲۰۲۳	۲	۰	۴
۰.۰۰۰۰۲۳	۰.۰۰۰۰۱۰	۲	۲	۵
-۰.۰۰۰۰۱۹۲	-۰.۰۰۰۰۲۰۷	۳	-۱	۷
۰.۰۰۰۰۵۳	-۰.۰۰۰۰۱۹۹	۳	۱	۸
۰.۰۰۰۰۳۱	۰.۰۰۰۰۵۶۲	۴	۰	۱۲
۰.۰۰۰۰۵۳۶	۰.۰۰۱۴۷۵	بیشینه اندازه خطای باقیمانده		
۰.۰۰۰۰۲۶۸	۰.۰۰۰۰۴۰۰	جذر میانگین مربعات خطا		



شکل ۶. تحقیق میزان اعتبار راه‌کار پیشنهادی برای تابع  $F_2$  (الف) تابع ابیراهی مفروض، (ب) تابع ابیراهی تخمین زده شده با چندجمله‌ای زرنیک، (پ) تابع ابیراهی تخمین زده شده با چندجمله‌ای اصلاح شده زرنیک، (ت) خطای مدل سازی با چندجمله‌ای زرنیک، (ث) خطای مدل سازی با چندجمله‌ای اصلاح شده زرنیک، (ج) تابع نقطه گستر عدم مدل سازی با چندجمله‌ای زرنیک نسبت به چندجمله‌ای اصلاح شده زرنیک.

##### ۵. نتیجه‌گیری

سپس فرایند تخمین پارامترهای جملات متقارن و نامتقارن به ترتیب با بهره‌گیری از آنالیز bi- و tri-coherence coherence صورت پذیرفته است. نتایج آزمایشگاهی نشان می‌دهند که در صورت وجود بردار خروج از مرکز، مدل سازی به کمک چندجمله‌ای اصلاح شده زرنیک بازدهی بالاتری را حاصل می‌کند. به گونه‌ای که در نمونه مورد سنجش، کاهش  $1/49$  برابر جذر میانگین مربعات خطا در تخمین تابع ابیراهی فاز گزارش شده است.

در این مقاله به معرفی مدل جدیدی برای تخمین توأم تابع ابیراهی فاز و خطای خروج از مرکز تصویر پرداخته شد. برای این منظور ابیراهی‌های زاید در قالب مومنت‌های اصلاح شده زرنیک مبتنی بر چندجمله‌ای چبیشف نوع دوم به صورت توابع مجزا روی فضای کارتزین بازنویسی گردیدند. سپس مومنت‌های بازنویسی شده به گونه‌ای مورد اصلاح قرار گرفتند که خطای خروج از مرکز تصویر نیز در آن لحاظ شود. جهت فرایند کالیبراسیون، جمله‌های مدل در قالب دو کلاس متقارن و نامتقارن تقسیم شدند.

جدول ۳. مقایسه کمی راه‌کار مبتنی بر زرنیک اصلاح شده با راه‌کار مبتنی بر زرنیک در مدل‌سازی تابع ابیراهی  $F_2$

راه‌کار مبتنی بر زرنیک اصلاح شده	راه‌کار مبتنی بر زرنیک	#مد		
		فرکانس ( $m$ )	مرتبۀ ( $n$ )	
-۰.۱۳۲۲۴۸	-۰.۱۳۲۲۴۸	۰	۰	۰
۰.۱۴۶۹۴۲	-۰.۲۰۲۰۱۹	-۱	۱	۱
۰.۳۲۹۱۲۴	۰.۲۸۹۹۷۴	۱	۱	۲
-۰.۱۴۳۴۲۱	۰.۳۰۳۶۲۹	-۲	۲	۳
۰.۰۳۷۶۴۳	۰.۰۵۲۶۷۰	۰	۲	۴
-۰.۲۸۶۷۶۴	-۰.۰۰۰۰۳۲	۲	۲	۵
۰.۰۵۹۹۱۲	-۰.۰۶۶۲۸۳	-۱	۳	۷
۰.۱۳۰۹۱۲	۰.۰۸۲۸۷۴	۱	۳	۸
-۰.۰۰۱۷۵۴	۰.۰۲۶۱۹۰	۰	۴	۱۲
۰.۲۵۱۰۹۷	۰.۲۶۹۵۶۴	بیشینه اندازه خطای باقیمانده		
۰.۰۵۸۱۵۳	۰.۰۵۱۵۴۹	جزر میانگین مربعات خطا		

#### منابع

1.V. Orekhov and B. Abidi, "Universal camera calibration with automatic distortion model selection," in *Image Processing, 2007. ICIP 2007. IEEE International Conference on*, 2007, p. VI - 397 - VI - 400.

2.R. G. V. Gioi, "Towards high-precision lens distortion correction," in *Image Processing (ICIP), 2010 17th IEEE International Conference on*, 2010, pp. 4237 - 4240.

3.C. Y. Vincent, "Multiview camera-calibration framework for nonparametric distortions removal," *Robotics, IEEE Transactions on*, vol. 21, no. 5, pp. 1004 - 1009, 2005.

4.C. Lin, S. Chang, and Y. Lay, "Automatic distortion measuring system with reticle positioning for enhanced accuracy," *Measurement*, 2008.

5.M. Ahmed, "Nonmetric calibration of camera lens distortion: differential methods and robust estimation," *Image Processing, IEEE Transactions on*, vol. 14, no. 8, pp. 1215 - 1230, 2005.

6.R. Hartley and S. B. Kang, "Parameter-free radial distortion correction with center of distortion estimation," *Pattern Analysis*

*and Machine Intelligence, IEEE Transactions on*, vol. 29, no. 8, pp. 1309-1321, 2007.

7.S. Aritan, "Efficiency of non-linear lens distortion models in biomechanical analysis of human movement," *Measurement*, vol. 43, no. 6, pp. 739-746, 2010.

8.V. Mahajan, *Optical imaging and aberrations*. SPIE Press, 1998.

9.C. Ricolfe-Viala and Antonio-José Sánchez-Salmerón, "Correcting non-linear lens distortion in cameras without using a model," *Optics & Laser Technology*, vol. 42, no. 4, pp. 628-639, 2010.

10.B. Tordoff and D. W. Murray, "The impact of radial distortion on the self-calibration of rotating cameras," *Computer Vision and Image Understanding*, vol. 96, no. 1, pp. 17-34, 2004.

11.J.-P. Tardif, P. Sturm, M. Trudeau, and S. Roy, "Calibration of Cameras with Radially Symmetric Distortion," *IEEE TRANSACTIONS ON PATTERN ANALYSIS ...*, vol. 31, no. 9, pp. 1552 - 1566, 2009.

12.J. Lin, M. Xing, D. Sha, D. Su, and T. Shen, "Distortion measurement of CCD imaging system with short focal length and

large-field objective,” *Optics and Lasers in Engineering*, vol. 43, no. 10, pp. 1137-1144, Oct. 2005.

13.F. Devernay and O. Faugeras, “Straight lines have to be straight,” *Machine Vision and Applications*, vol. 13, no. 1, pp. 14-24, Aug. 2001.

14.C. Hughes, R. McFeely, P. Denny, M. Glavin, and E. Jones, “Equidistant fish-eye perspective with application in distortion centre estimation,” *Image and Vision Computing*, vol. 28, no. 3, pp. 538-551, Mar. 2010.

15.H. Farid and A. C. Popescu, “Blind removal of lens distortion,” *JOSA A*, vol. 18, no. 9, pp. 2072-2078, 2001.

16.W. Yu, “Image-based lens geometric distortion correction using minimization of

average bicoherence index,” *Pattern Recognition*, vol. 37, no. 6, pp. 1175-1187, 2004.

۱۷. رهبر، کامبیز؛ فائز، کریم؛ اصلاح نقص ابیراهی لنز دوربین با بهره‌گیری از مومنت‌های زرنیک، فصلنامه فناوری اطلاعات و ارتباطات ایران، سال دوم، شماره‌های ۵ و ۶، پاییز و زمستان ۱۳۸۹.

18.C. J. R. Sheppard, S. Campbell, and M. D. Hirschhorn, “Zernike expansion of separable functions of Cartesian coordinates” *Applied optics*, vol. 43, no. 20, pp. 3963-6, Jul. 2004.

19.J. Fackrell and S. McLaughlin, “Non-linearity detection for condition monitoring using higher order statistics,” *Proc. COMADEM'96*, 1996.